

Przetwarzanie Sygnałów Cyfrowych

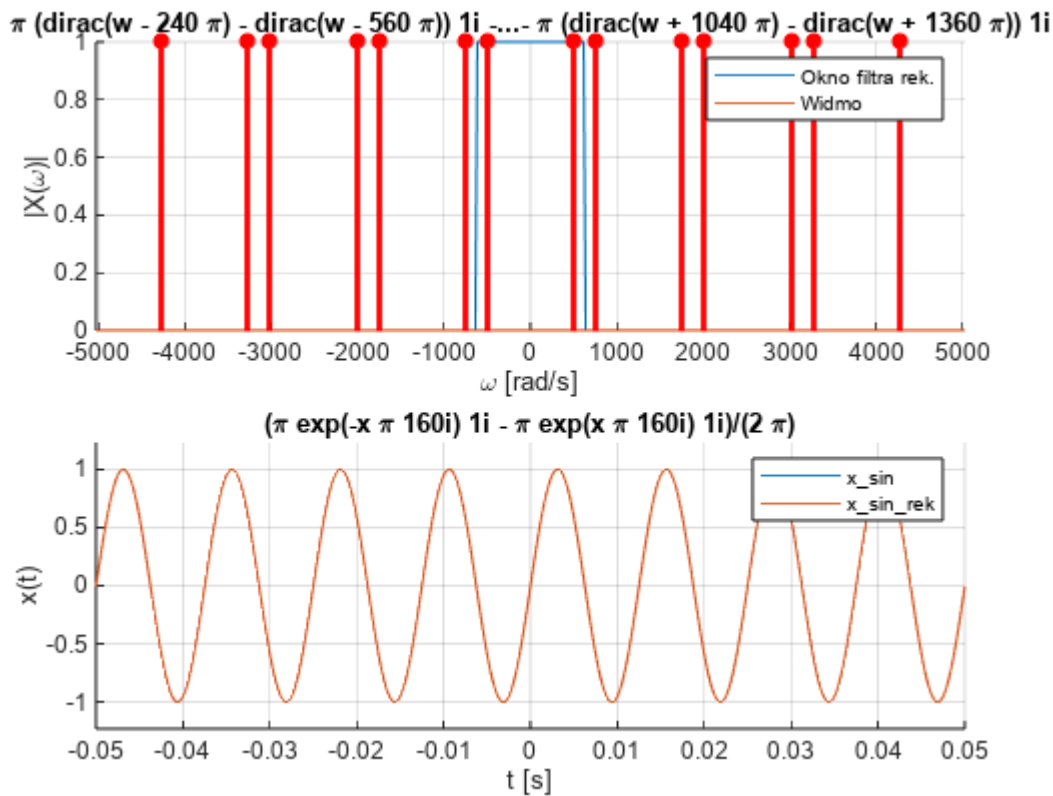
Próbkowanie sygnałów ciągłych

Jan Rosa 410269 AiR

Ćwiczenie 1

Przeprowadź rekonstrukcję sygnału ciągłego $\sin(\omega_k t)$ próbkowanego z częstotliwością 200Hz - szkic skryptu przedstawiono na rysunku 1.

```
clear all; close all;
syms t x w K
fp = 200; fg = fp/2; %Hz
wp = 2*pi*fp; wg = 2*pi*fg;
s = 4/5; ws = s*wg;
x_sin = sin(ws*t);
X_FT_sin_org = fourier(x_sin);
X_FT_sin = X_FT_sin_org + ... % oryginal widma
    symsum((subs(X_FT_sin_org, w, w - K*wp ) + ... % 3 aliasy lewe
    subs(X_FT_sin_org, w, w + K*wp)), K , 1, 3); % 3 aliasy prawe
FILT_FT = rectangularPulse(-wg,wg,w); % filtr rekonstruujący
x_sin_rek = ifourier(X_FT_sin*FILT_FT); % odwr. tarnsf. Fouriera
BND_t = [-10/fp;10/fp];
t_SMP = [BND_t(1):1/(10*fp):BND_t(2) ];
BND_w = [-4*wp;4*wp];
w_SMP = [BND_w(1):wp/10:BND_w(2)];
figure; subplot(2,1,1); hold on; grid on;
ezplot(FILT_FT,BND_w); %okno filtru rek.
ezplot(X_FT_sin,BND_w)
v_num = abs(double(subs(X_FT_sin, w, w_SMP)));
n = find(abs(v_num) == Inf);
stem(w_SMP(n),sign(v_num(n)), 'r*', 'LineWidth', 2);
xlabel('\omega [rad/s]'); ylabel('|X(\omega)|')
legend('Okno filtra rek.','Widmo');
subplot(2,1,2); hold on; grid on;
ezplot(x_sin, BND_t);
% syg. próbkowany
ezplot(x_sin_rek, BND_t) % syg. odtworzony
xlabel('t [s]'); ylabel('x(t)')
legend('x\_sin','x\_sin\_rek');
```



Zadanie 2

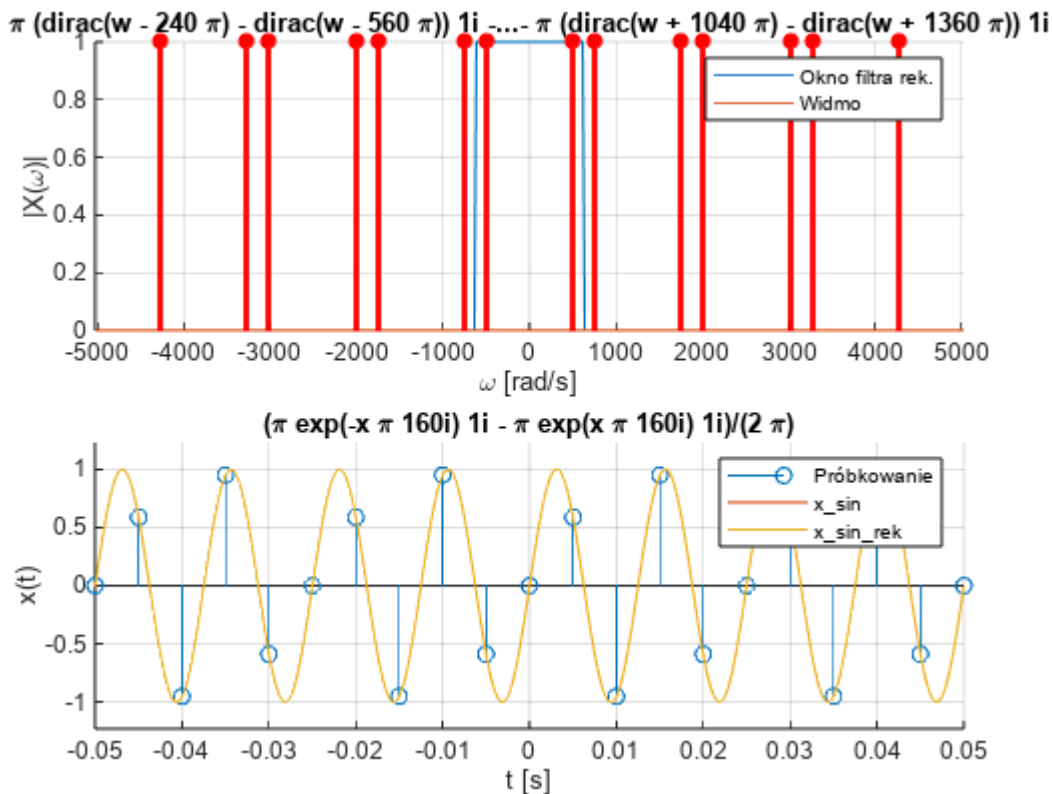
Oznacz na wykresie czasowym węzły próbkowania wyznaczone przez okres próbkującej funkcji grzebieniowej $\delta_{T_p}(t)$, gdzie $T_p = \frac{1}{f_p}$.

```
clear all; close all;
syms t x w K
fp = 200; fg = fp/2; %Hz
wp = 2*pi*fp; wg = 2*pi*fg;
s = 4/5; ws = s*wg;
x_sin = sin(ws*t);
X_FT_sin_org = fourier(x_sin);
X_FT_sin = X_FT_sin_org + ... % oryginalne widmo
    symsum((subs(X_FT_sin_org, w, w - K*wp) + ... % 3 aliasy lewe
        subs(X_FT_sin_org, w, w + K*wp)), K, 1, 3); % 3 aliasy prawe
FILT_FT = rectangularPulse(-wg, wg, w); % filtr rekonstruujący
x_sin_rek = ifourier(X_FT_sin * FILT_FT); % odwr. transf. Fouriera
BND_t = [-10/fp; 10/fp];
t_SMP = [BND_t(1):1/(10*fp):BND_t(2)];
BND_w = [-4*wp; 4*wp];
w_SMP = [BND_w(1):wp/10:BND_w(2)];
figure; subplot(2,1,1); hold on; grid on;
ezplot(FILT_FT, BND_w); % okno filtru rek.
ezplot(X_FT_sin, BND_w)
v_num = abs(double(subs(X_FT_sin, w, w_SMP)));
```

```

n = find(abs(v_num) == Inf);
stem(w_SMP(n), sign(v_num(n)), 'r*', 'LineWidth', 2);
xlabel('\omega [rad/s]'); ylabel('|X(\omega)|')
legend('Okno filtra rek.', 'Widmo');
subplot(2,1,2); hold on; grid on;
nodex = BND_t(1):1/fp:BND_t(2);
nodey = subs(x_sin, t, nodex);
stem(nodex, nodey);
ezplot(x_sin, BND_t);
% syg. próbkowany
ezplot(x_sin_rek, BND_t) % syg. odtworzony
xlabel('t [s]'); ylabel('x(t)')
legend('Próbkowanie', 'x_sin', 'x_sin_rek');

```



Zadanie 3

Wykonaj rekonstrukcję sygnału sinusoidalnego o następujących częstotliwościach:

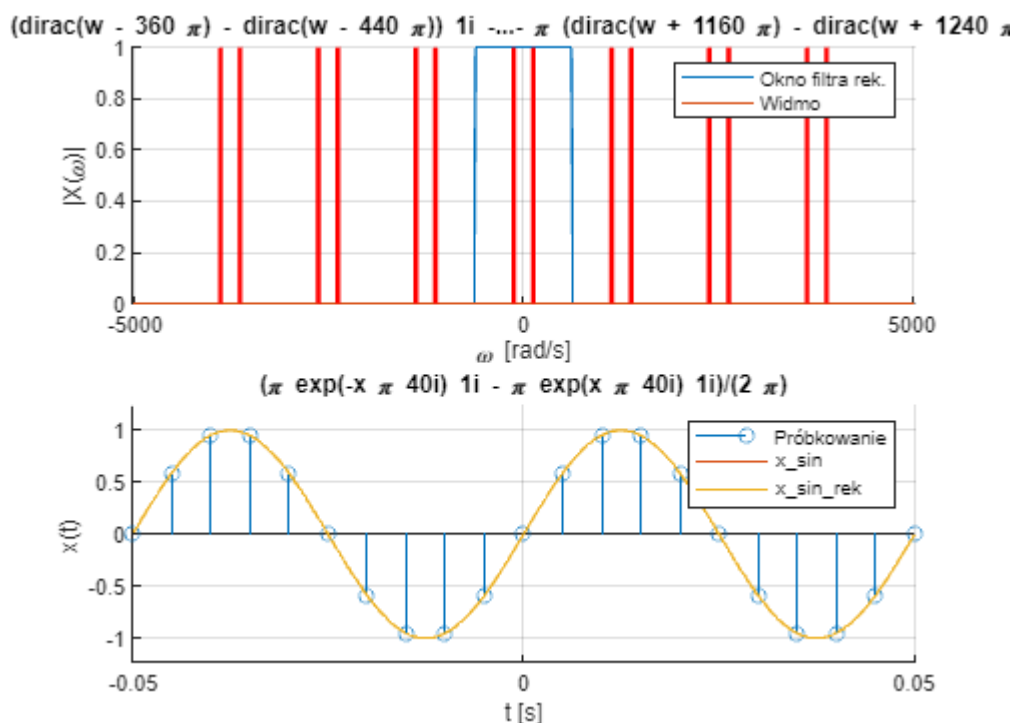
- a) $\frac{1}{5}f_g$, b) $\frac{6}{5}f_g$, c) $\frac{11}{5}f_g$, d) $\frac{16}{5}f_g$,
- e) $\frac{4}{5}f_g$, f) $\frac{9}{5}f_g$, g) $\frac{14}{5}f_g$.

Uwaga: aby ustawić częstotliwość sinusoidy należy zmodyfikować wartość współczynnika s który wyznacza pulsację ws sygnału $x_{\sin} = \sin(ws \cdot t)$.

Zaobserwuj i zanotuj w sprawozdaniu podobieństwa oraz różnice poszczególnych przebiegów czasowych. Wyznacz częstotliwość i fazę sygnału zrekonstruowanego dla każdego przypadku. Wyniki i spostrzeżenia umieść w sprawozdaniu. Zastanów się, czy w wyniku rekonstrukcji można uzyskać funkcję stałą. Jeśli tak, napisz w sprawozdaniu jakie warunki muszą być spełnione i podaj przepis na parametry rekonstrukcji.

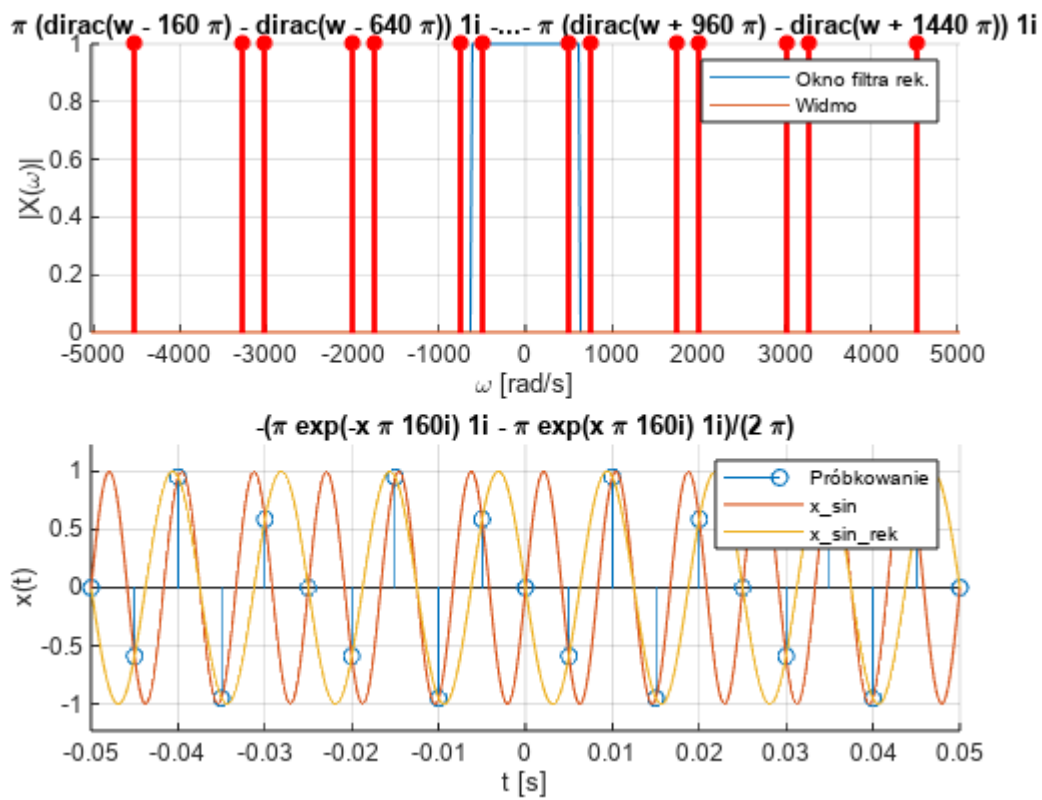
a)

fgplot(1/5)



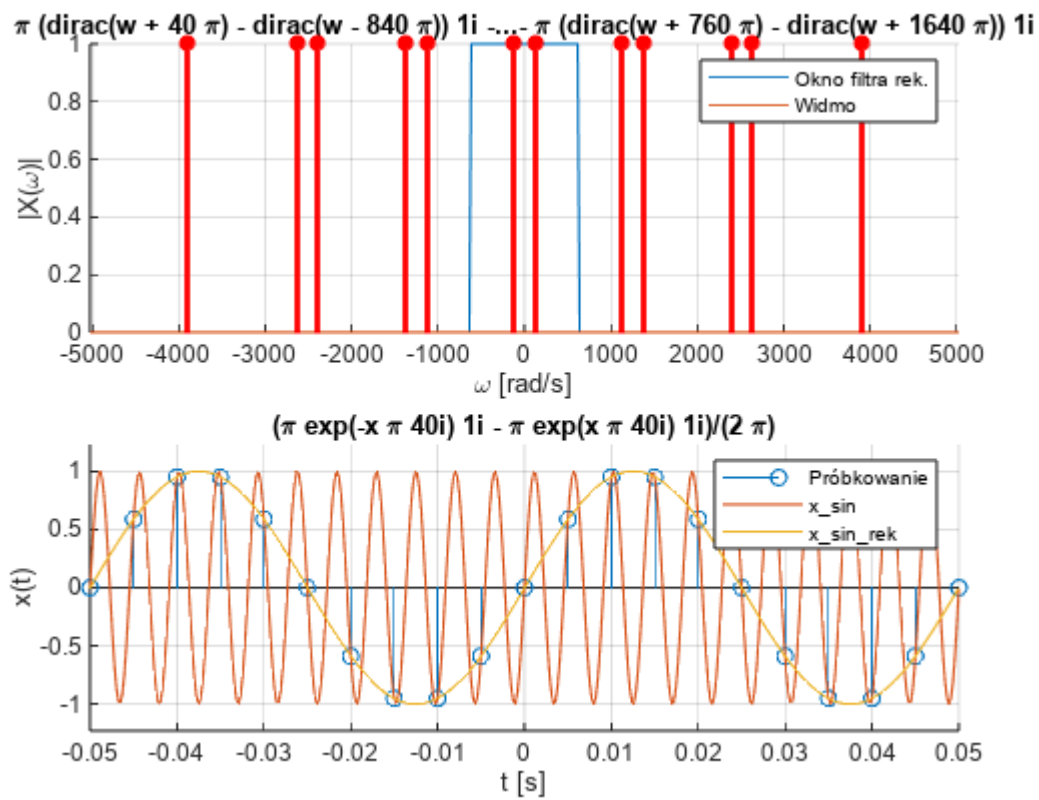
b)

fgplot(6/5)



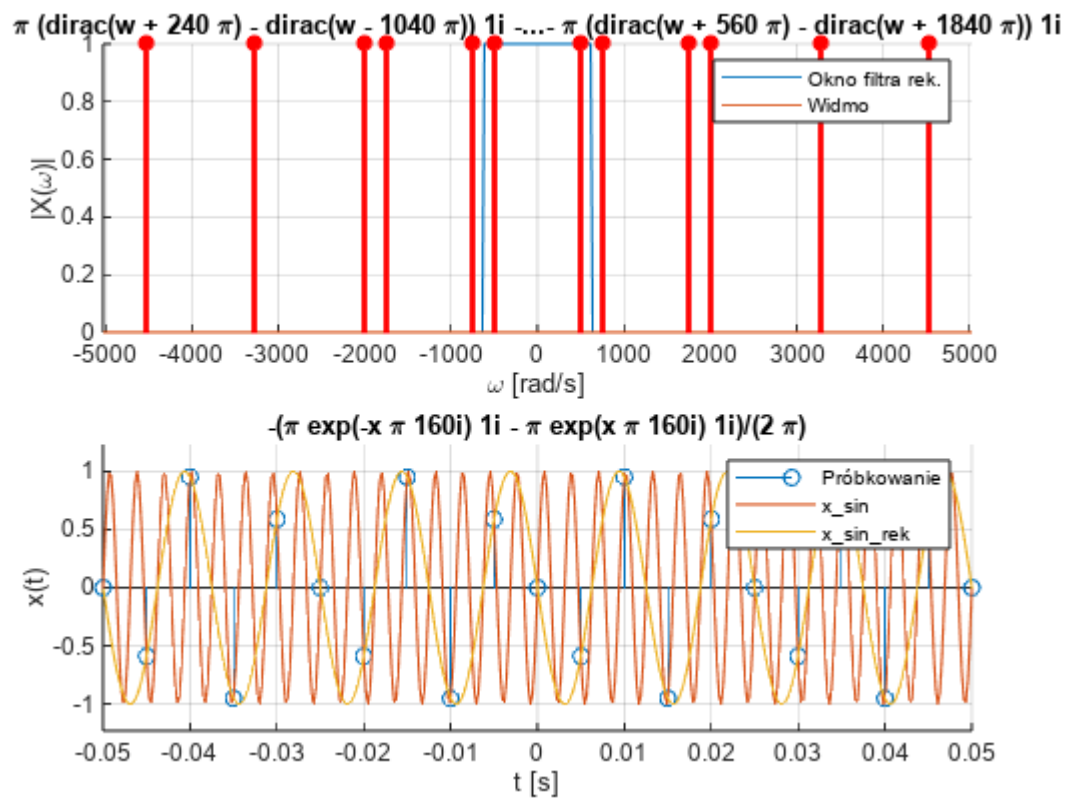
c)

fgplot(11/5)



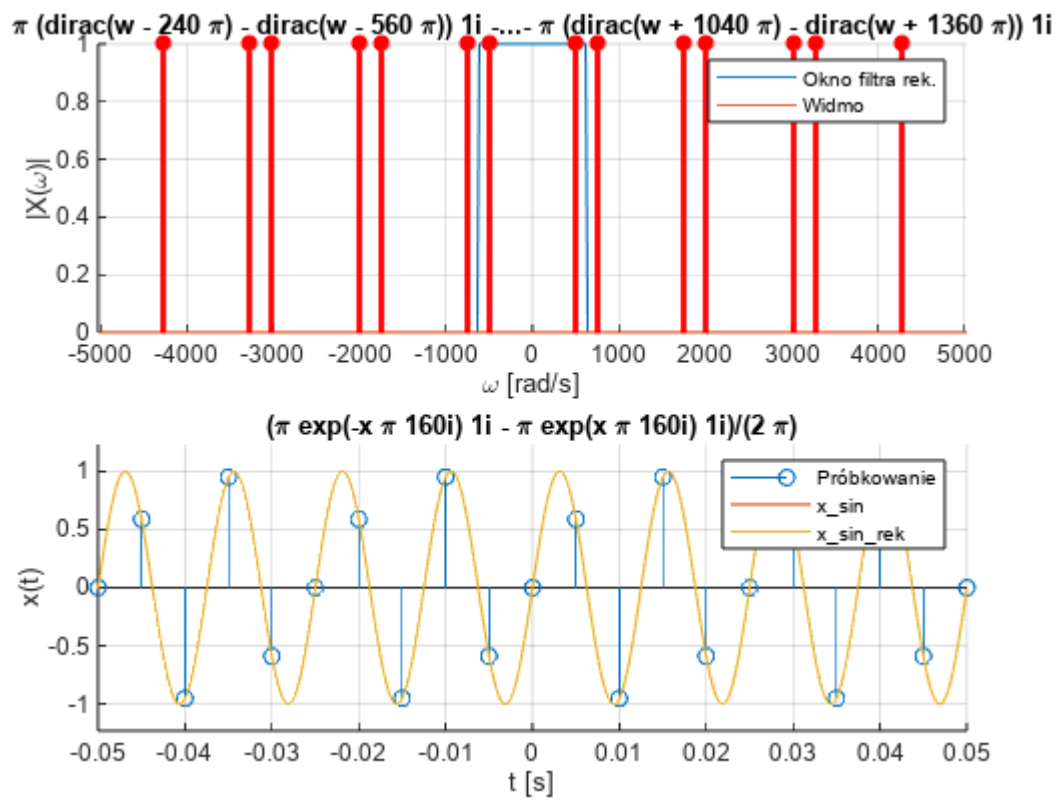
d)

fgplot(16/5)



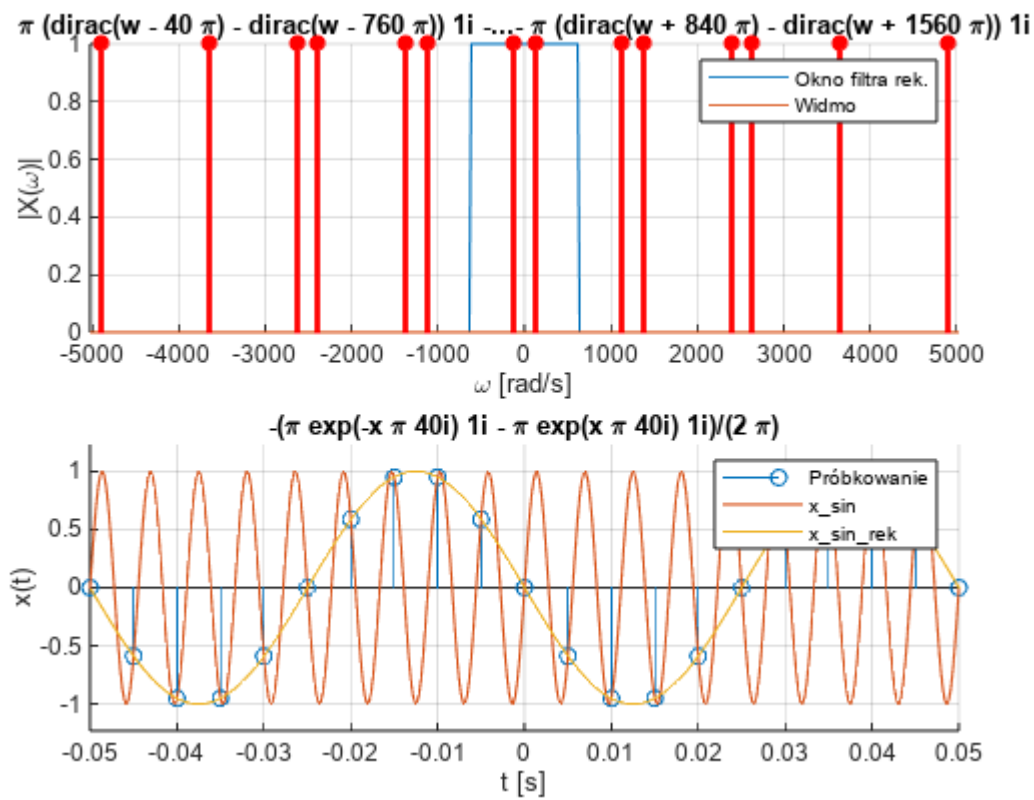
e)

fgplot(4/5)



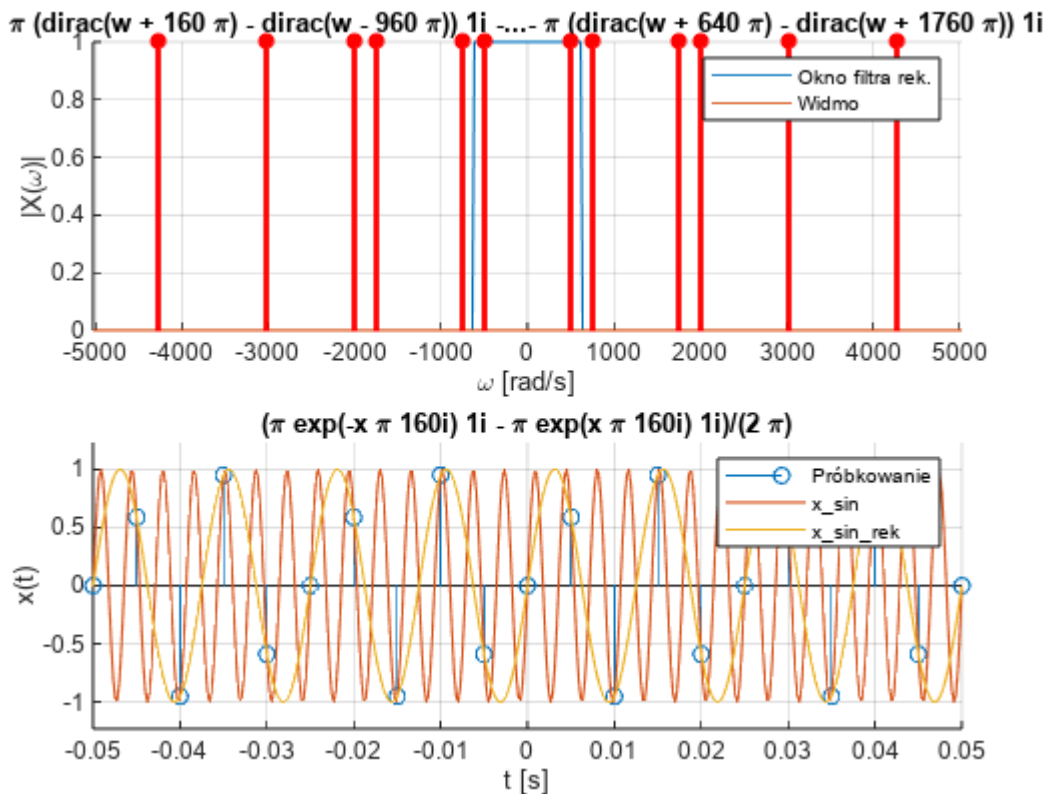
f)

fgplot(9/5)



g)

fgplot(14/5)



Najlepiej odtworzona jest funkcja gdy $s < 1$ tj gdy częstotliwość próbkowania jest co najmniej dwa razy większa niż najmniejsza składowa harmoniczna, **Twierdzenie o próbkowaniu, twierdzenie Kotelnikowa Shanona**.

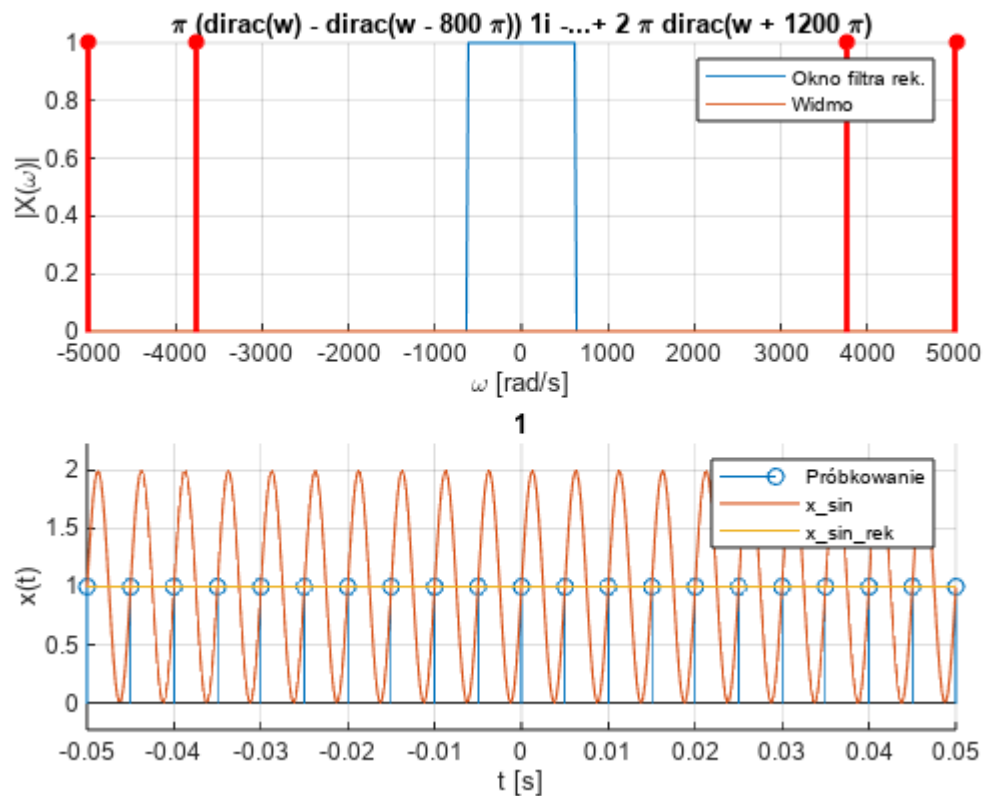
Funkcja jest stała wtedy gdy częstotliwość próbkowania pozostaje w stosunku $1/(k+1)$ do częstotliwości sygnału próbkowanego gdzie k jest liczbą całkowitą.

```
syms t x w K
s = 2;
fp = 200; fg = fp/2; %Hz
wp = 2*pi*fp; wg = 2*pi*fg;
ws = s*wg;
x_sin = sin(ws*t) + 1;
X_FT_sin_org = fourier(x_sin);
X_FT_sin = X_FT_sin_org + ... % oryginalne widmo
    symsum((subs(X_FT_sin_org, w, w - K*wp) + ... % 3 aliasy lewe
        subs(X_FT_sin_org, w, w + K*wp)), K, 1, 3); % 3 aliasy prawe
FILT_FT = rectangularPulse(-wg, wg, w); % filtr rekonstruujący
x_sin_rek = ifourier(X_FT_sin * FILT_FT); % odwr. transf. Fouriera
BND_t = [-10/fp; 10/fp];
t_SMP = [BND_t(1):1/(10*fp):BND_t(2)];
BND_w = [-4*wp; 4*wp];
w_SMP = [BND_w(1):wp/10:BND_w(2)];
figure; subplot(2,1,1); hold on; grid on;
ezplot(FILT_FT, BND_w); % okno filtru rek.
ezplot(X_FT_sin, BND_w)
```

```

v_num = abs(double(subs(X_FT_sin, w, w_SMP)));
n = find(abs(v_num) == Inf);
stem(w_SMP(n), sign(v_num(n)), 'r*', 'LineWidth', 2);
xlabel('\omega [rad/s]'); ylabel('|X(\omega)|')
legend('Okno filtra rek.', 'Widmo');
subplot(2,1,2); hold on; grid on;
nodex = BND_t(1):1/fp:BND_t(2);
nodey = subs(x_sin, t, nodex);
stem(nodex, nodey);
ezplot(x_sin, BND_t);
% syg. próbkowany
ezplot(x_sin_rek, BND_t) % syg. odtworzony
xlabel('t [s]'); ylabel('x(t)')
legend('Próbkowanie', 'x_sin', 'x_sin_rek');

```

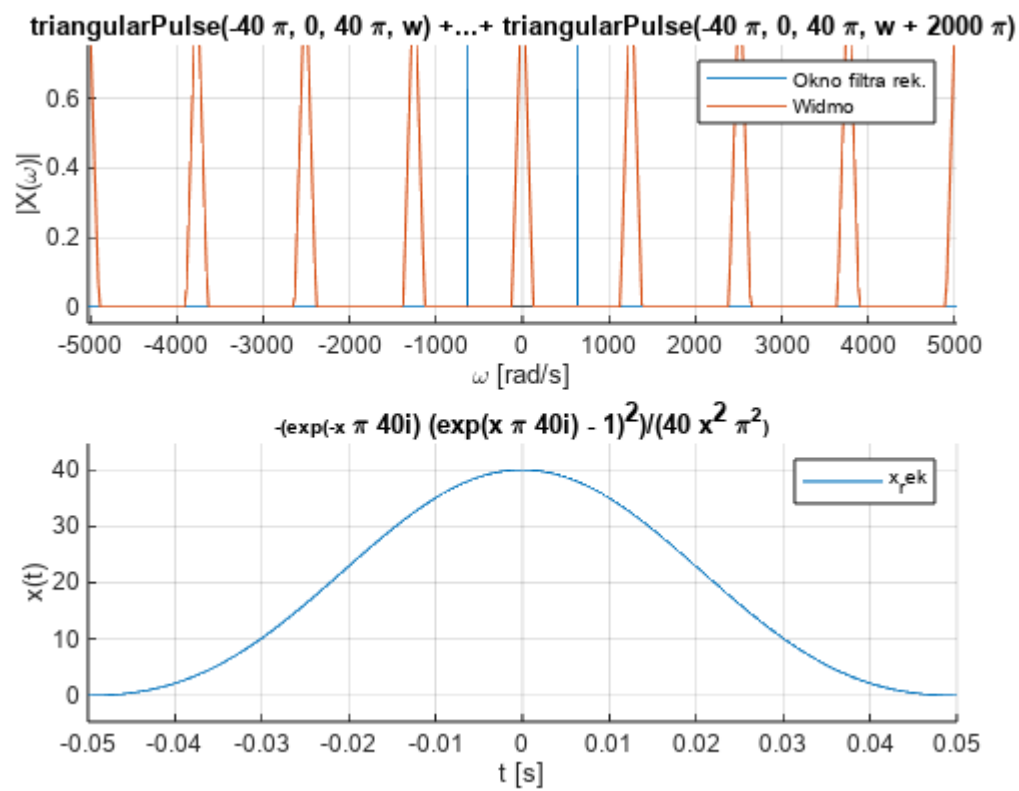


Zadanie 4

Zastąp widmo sygnału sinusoidalnego X_{FT_sin} symetrycznym widmem o kształcie trójkątnym $X_A(j\omega)$ którego częstotliwość graniczna jest równa f_g , wartość minimalna wynosi 0.0 a maksymalna 1.0. Pomijamy wówczas obliczenia transformaty za pomocą funkcji `fourier()` ale musimy pamiętać o dodaniu aliasów po prawej i lewej stronie. Przeprowadź analizę jak w **Zad. 3 1.3**.

a)

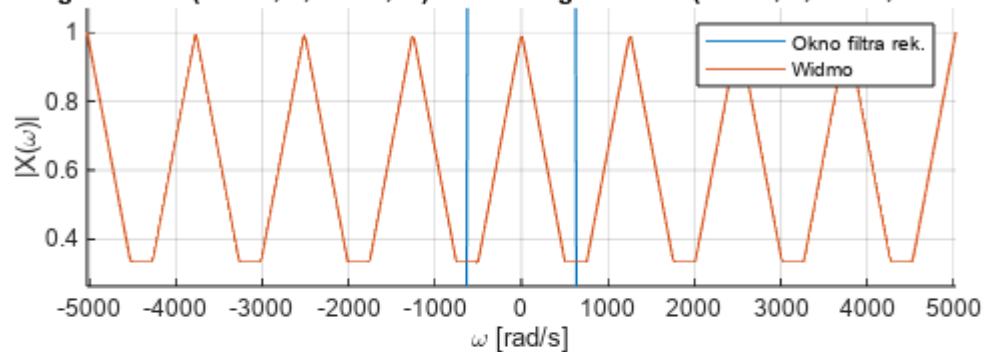
```
trianwave(1/5)
```



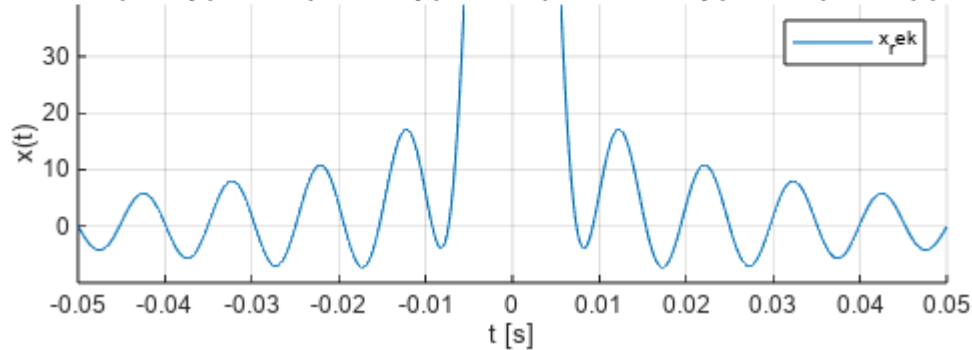
b)

```
trianwave(6/5)
```

`triangularPulse(-240 π , 0, 240 π , w) + ... + triangularPulse(-240 π , 0, 240 π , w + 2000 π)`



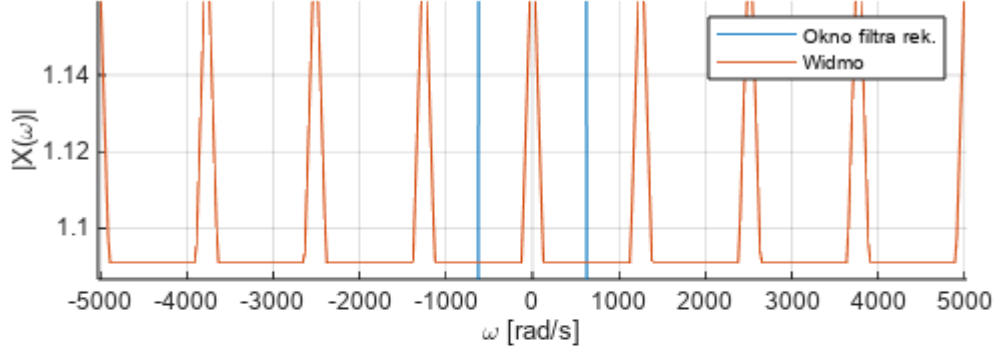
`$-\frac{\exp(-x \pi 160i) + \exp(x \pi 160i) - x \pi \exp(-x \pi 200i) 80i + x \pi \exp(x \pi 200i) 80i - 2}{(240 x^2 \pi^2)}$`



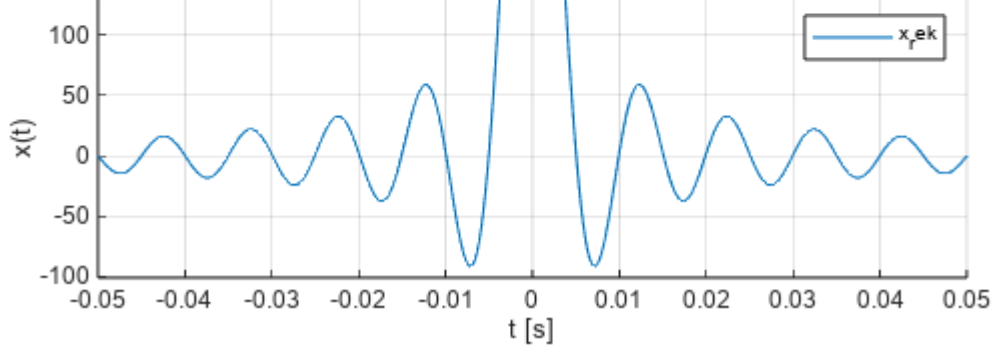
c)

`trianwave(11/5)`

`triangularPulse(-440 π , 0, 440 π , w) + ... + triangularPulse(-440 π , 0, 440 π , w + 2000 π)`



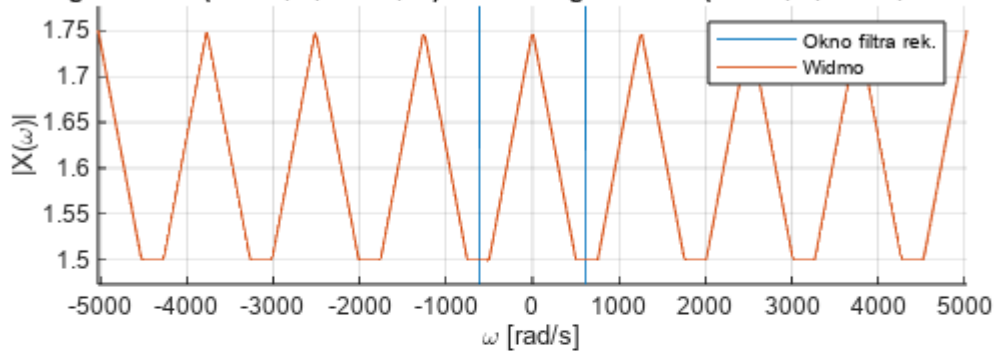
`$-\frac{\exp(-x \pi 40i) + \exp(x \pi 40i) - x \pi \exp(-x \pi 200i) 480i + x \pi \exp(x \pi 200i) 480i - 2}{(440 x^2 \pi^2)}$`



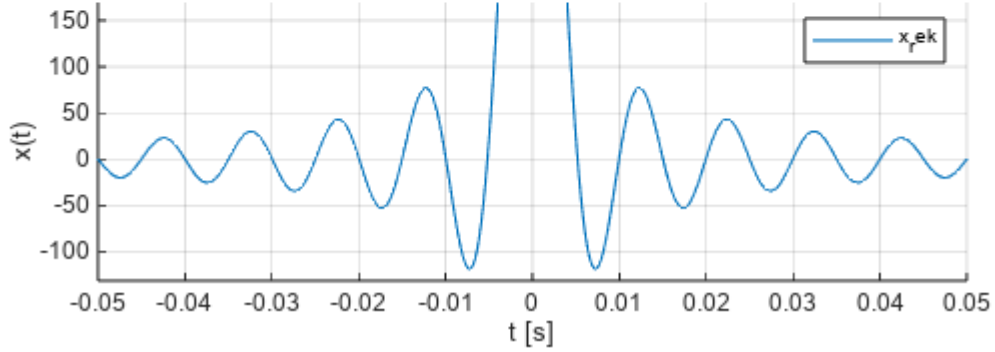
d)

`trianwave(16/5)`

$\text{triangularPulse}(-640 \pi, 0, 640 \pi, w) + \dots + \text{triangularPulse}(-640 \pi, 0, 640 \pi, w + 2000 \pi)$



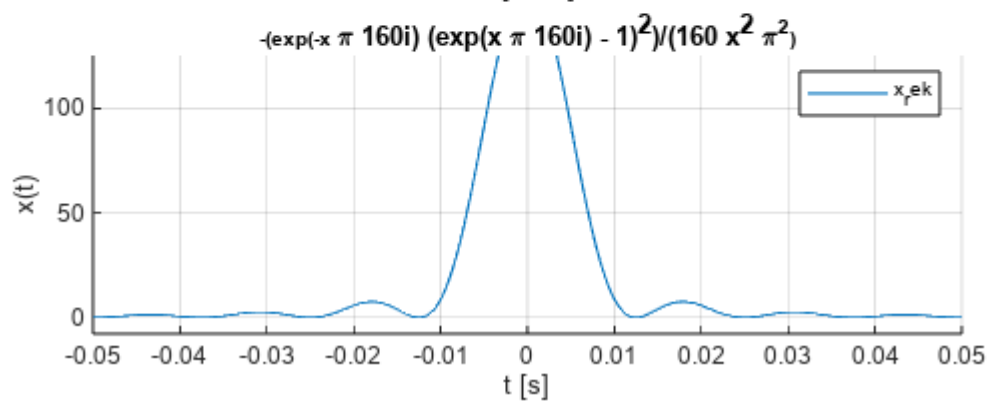
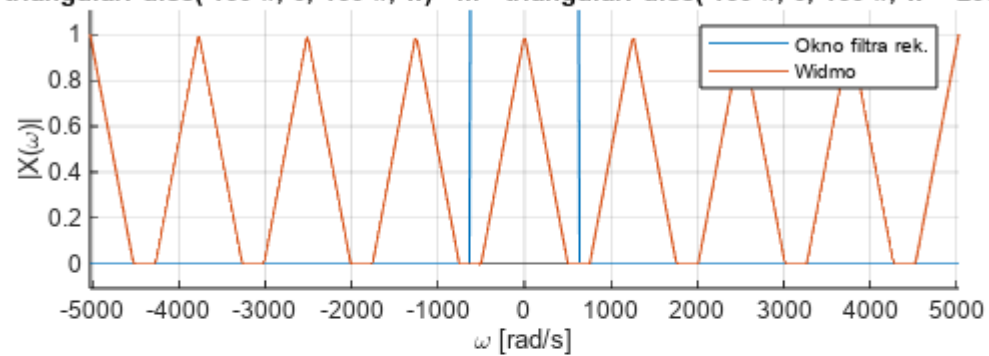
$$\frac{-\exp(-x \pi 160i) + \exp(x \pi 160i) - x \pi \exp(-x \pi 200i) 960i + x \pi \exp(x \pi 200i) 960i - 2}{(640 x^2 \pi)}$$



e)

`trianwave(4/5)`

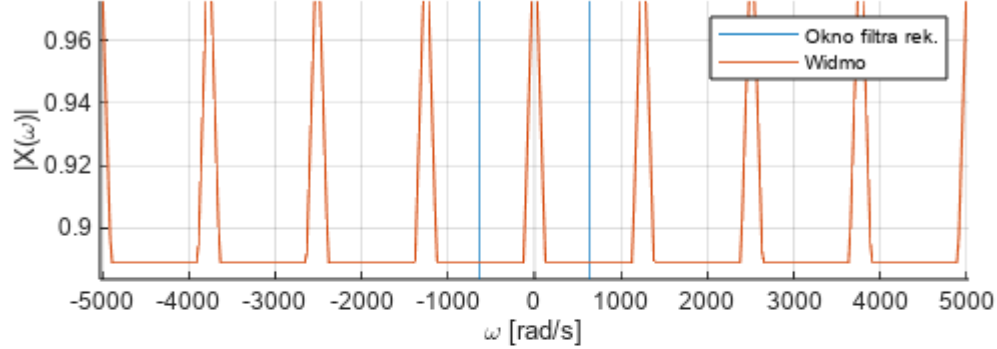
`triangularPulse(-160 π , 0, 160 π , w) + ... + triangularPulse(-160 π , 0, 160 π , w + 2000 π)`



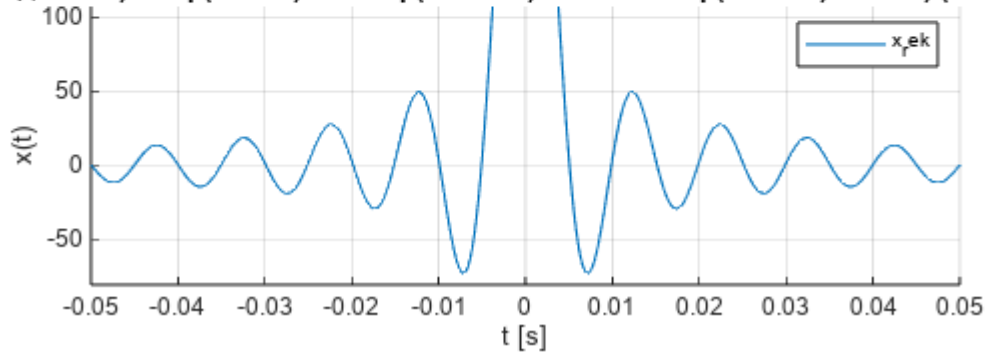
f)

`trianwave(9/5)`

$\text{triangularPulse}(-360 \pi, 0, 360 \pi, w) + \dots + \text{triangularPulse}(-360 \pi, 0, 360 \pi, w + 2000 \pi)$

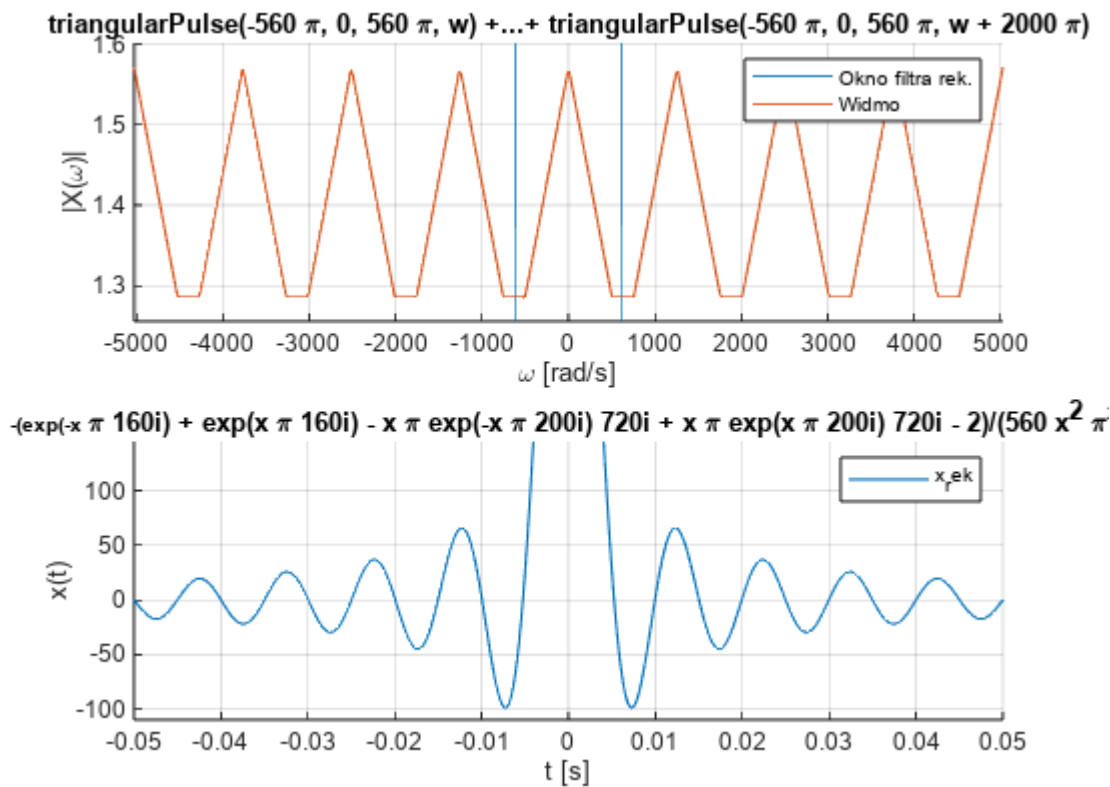


$$\frac{-\exp(-x \pi 40i) + \exp(x \pi 40i) - x \pi \exp(-x \pi 200i) 320i + x \pi \exp(x \pi 200i) 320i - 2}{(360 x^2 \pi^2)}$$



g)

```
trianwave(14/5)
```



Zadanie 5

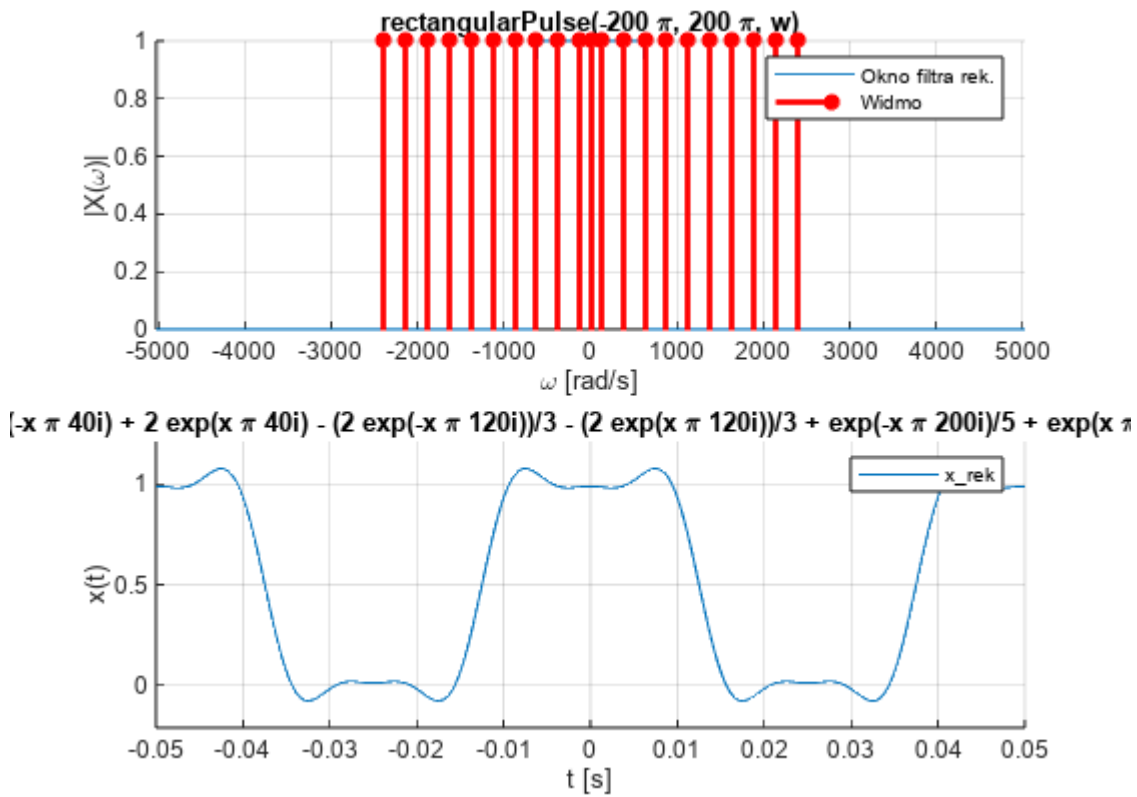
Zadanie polega na rekonstrukcji próbkowanej, nieskończonej symetrycznej fali prostokątnej o częstotliwości $f_s = \frac{4}{5}f_g$, wartości średniej 0.5, amplitudzie 1.0 i współczynnika wypełnienia równym 0.5. Ze względu na nieskończoną reprezentację tego sygnału w dziedzinie czasu, najlepiej zdefiniować go jako obraz częstotliwościowy w dziedzinie pulsacji, stosując formułę [8]. Współczynniki X_n szeregu Fouriera można wyznaczyć komputerowo jak w ćwiczeniu Lab. *Analiza harmoniczna sygnałów* albo korzystając z tablic. W tym przypadku szereg będzie nieskończony, jednak do symulacji można wykorzystać kilkanaście (kilkadziesiąt) pierwszych wyrazów ciągu, np. $n \in (-20, 20)$. Wykonaj rekonstrukcję sygnału sinusoidalnego o następujących częstotliwościach f_s :

- $\frac{1}{5}f_g$,
- $\frac{4}{5}f_g$,
- f_g ,
- $\frac{6}{5}f_g$.

Napisz w sprawozdaniu, w którym przypadku rekonstrukcja daje najlepsze efekty. Odpowiedź uzasadnij.

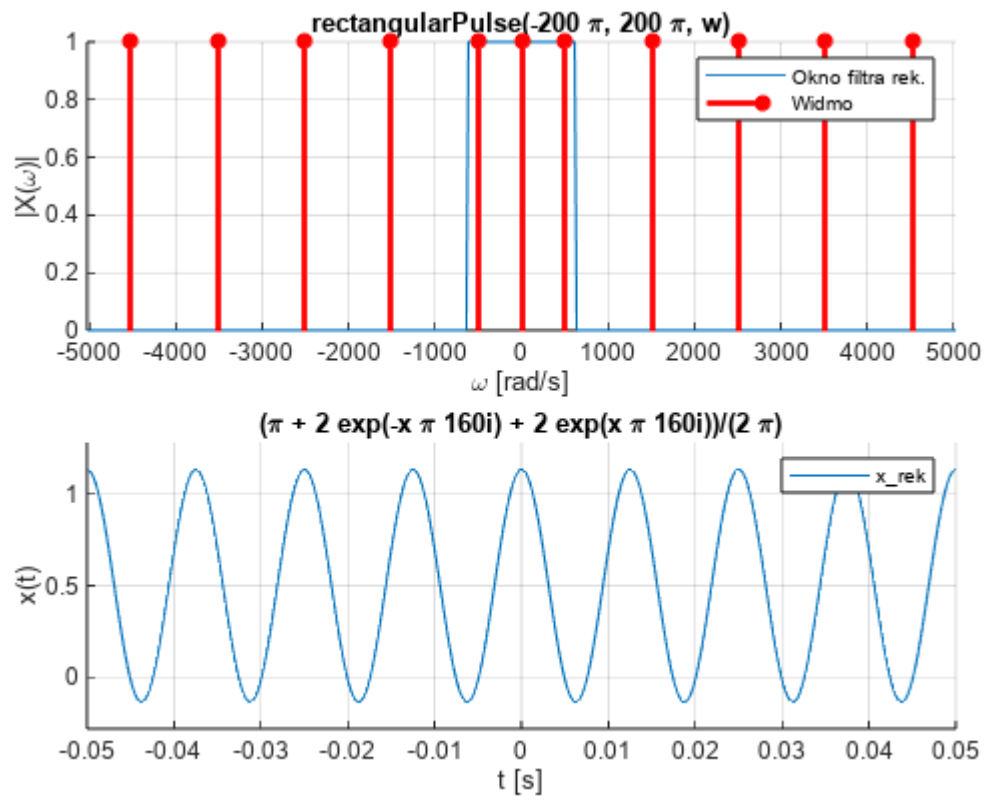
a)

rectwave(1/5)



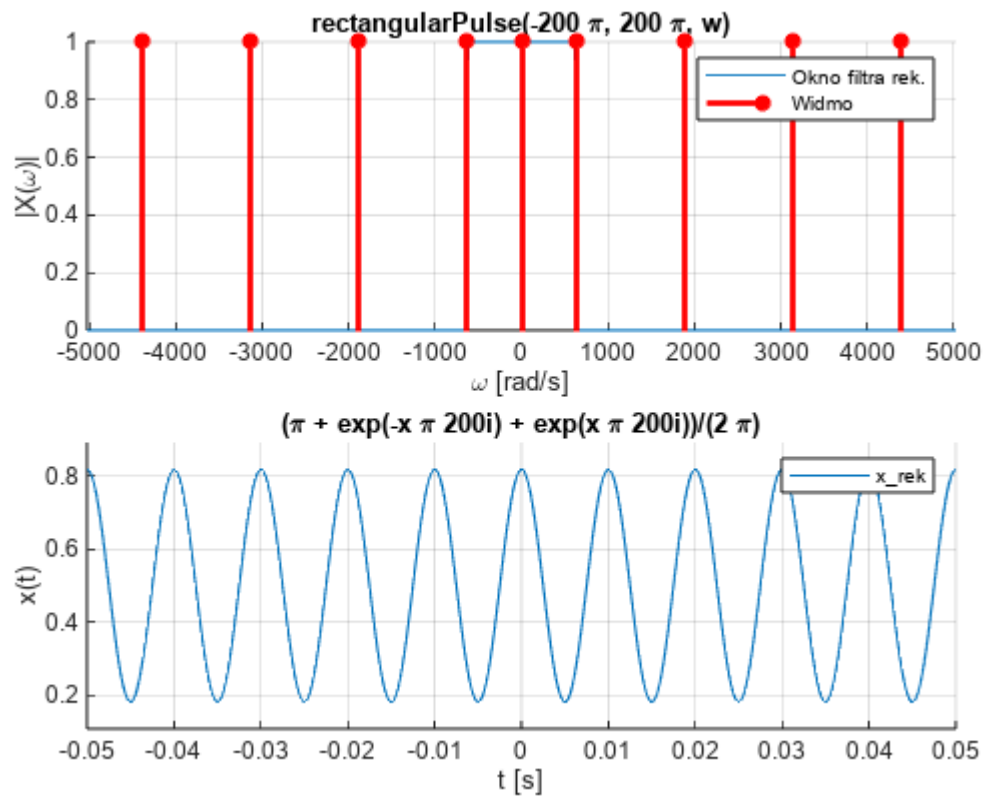
b)

rectwave(4/5)



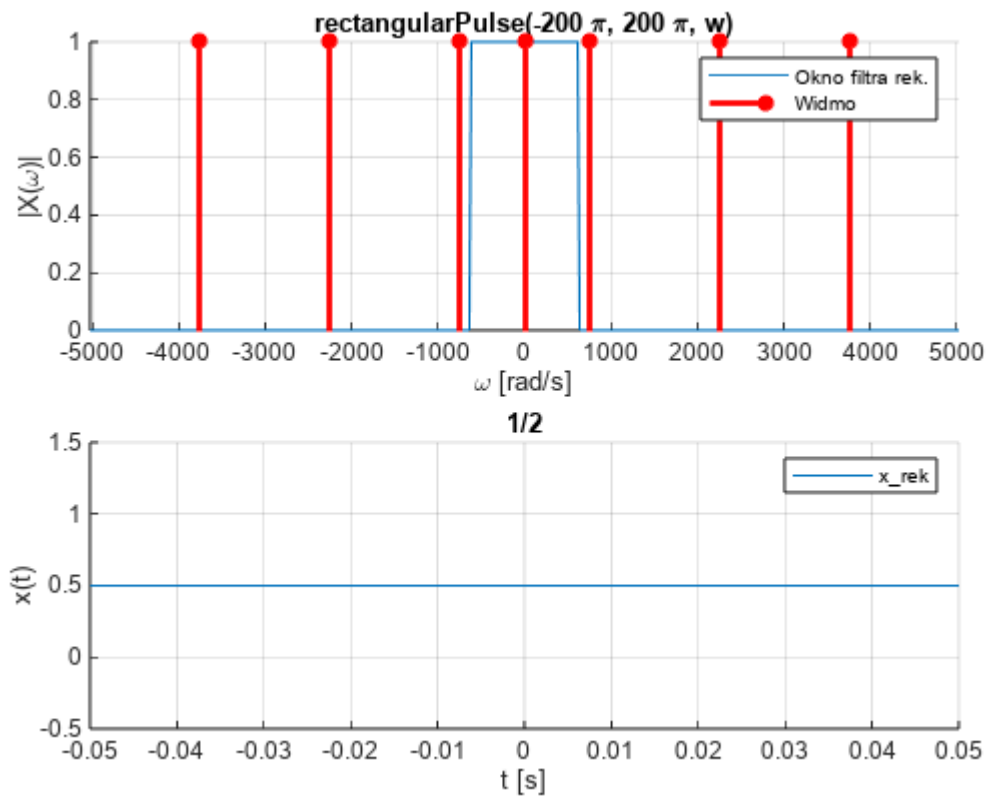
c)

```
rectwave(1)
```



d)

```
rectwave(6/5)
```



Rekonstrukcja daje najlepsze efekty gdy okno filtra pokrywa wszystkie składowe częstotliwości sygnału. tj im s
mniejsze tym rekonstrukcja lepsza

```
function [] = fgplot(s)
syms t x w K
fp = 200; fg = fp/2; %Hz
wp = 2*pi*fp; wg = 2*pi*fg;
ws = s*wg;
x_sin = sin(ws*t);
X_FT_sin_org = fourier(x_sin);
X_FT_sin = X_FT_sin_org + ... % oryginalne widmo
    symsum((subs(X_FT_sin_org, w, w - K*wp) + ... % 3 aliasy lewe
        subs(X_FT_sin_org, w, w + K*wp)), K, 1, 3); % 3 aliasy prawe
FILT_FT = rectangularPulse(-wg, wg, w); % filtr rekonstruujący
x_sin_rek = ifourier(X_FT_sin * FILT_FT); % odwr. transf. Fouriera
BND_t = [-10/fp; 10/fp];
t_SMP = [BND_t(1):1/(10*fp):BND_t(2)];
BND_w = [-4*wp; 4*wp];
w_SMP = [BND_w(1):wp/10:BND_w(2)];
figure; subplot(2,1,1); hold on; grid on;
ezplot(FILT_FT, BND_w); % okno filtru rek.
ezplot(X_FT_sin, BND_w);
v_num = abs(double(subs(X_FT_sin, w, w_SMP)));
n = find(abs(v_num) == Inf);
stem(w_SMP(n), sign(v_num(n)), 'r*', 'LineWidth', 2);
```

```

xlabel('\omega [rad/s]'); ylabel('|X(\omega)|')
legend('Okno filtra rek.', 'Widmo');
subplot(2,1,2); hold on; grid on;
nodex = BND_t(1):1/fp:BND_t(2);
nodey = subs(x_sin, t, nodex);
stem(nodex, nodey);
ezplot(x_sin, BND_t);
% syg. próbkowany
ezplot(x_sin_rek, BND_t) % syg. odtworzony
xlabel('t [s]'); ylabel('x(t)')
legend('Próbkowanie', 'x\_sin', 'x\_sin\_rek');
end

%%%%%%%%%%%%%%%%%%%%%%%%%%%%%%%%%%%%%%%%%%%%%%%%%%%%%%%%%%%%%%%%%%%%%%%%

function [] = trianwave(s)
syms t x w K
fp = 200; fg = fp/2; %Hz
wp = 2*pi*fp; wg = 2*pi*fg;
ws = s*wg;
x_sin = sym(0);

X_FT_sin_org = triangularPulse(-ws, 0, ws, w);
X_FT_sin = X_FT_sin_org + symsum((subs(X_FT_sin_org, w, w - K*wp ) + subs(X_FT_sin_org, w, w +
FILT_FT = 2*rectangularPulse(-wg,wg,w); % filtr rekonstruujący
x_sin_rek = ifourier(X_FT_sin*FILT_FT); % odwr. tarnsf. Fouriera
BND_t = [-10/fp;10/fp];
t_SMP = [BND_t(1):1/(10*fp):BND_t(2) ];
BND_w = [-4*wp;4*wp];
w_SMP = [BND_w(1):wp/10:BND_w(2)];

figure; subplot(2,1,1); hold on; grid on;
title("Trójkątna transformata")
ezplot(FILT_FT,BND_w); %okno filtru rek.
ezplot(X_FT_sin,BND_w)
v_num = abs(double(subs(X_FT_sin, w, w_SMP)));
n = find(abs(v_num) == Inf);
stem(w_SMP(n),sign(v_num(n)), 'r*', 'LineWidth', 2);
xlabel('\omega [rad/s]'); ylabel('|X(\omega)|')
legend('Okno filtra rek.', 'Widmo');

subplot(2,1,2); hold on; grid on;
title('Rekonstrukcja')
%nodex = BND_t(1):1/fp:BND_t(2);
%nodey = subs(x_sin, t, nodex);
%stem(nodex, nodey);
%ezplot(x_sin, BND_t);
% syg. próbkowany
ezplot(x_sin_rek, BND_t) % syg. odtworzony

```

```

xlabel('t [s]'); ylabel('x(t)')
legend('x_rek');
end

%%%%%%%%%%%%%%%%%%%%%%%%%%%%%%%%%%%%%%%%%%%%%%%%%%%%%%%%%%%%%%%%%%%%%%%%

function [] = rectwave(s)
syms t x w K
fp = 200; fg = fp/2; %Hz
wp = 2*pi*fp; wg = 2*pi*fg;
ws = s*wg;
Ts = 1/s/fg;
xTT = rectangularPulse(-Ts/4, Ts/4, t);

NT = 20;
ind = -NT : NT;
X = sym(0);
for n = ind
    Xn = (ws)*int(xTT*exp(-1i*ws*n*t),t, [-1/4*Ts, 3/4*Ts]);
    %Xn to współczynnik
    X = X + sym(Xn)*dirac(w-n*ws);
end

X_FT_sin = X;
x_sin = xTT;

FILT_FT = rectangularPulse(-wg,wg,w); % filtr rekonstruujący
x_sin_rek = ifourier(X_FT_sin*FILT_FT); % odwr. tarnsf. Fouriera
BND_t = [-10/fp;10/fp];
%t_SMP = [BND_t(1):1/(10*fp):BND_t(2) ];
BND_w = [-4*wp;4*wp];
w_SMP = [BND_w(1):wp/10:BND_w(2)];

figure; subplot(2,1,1); hold on; grid on;
ezplot(FILT_FT,BND_w); %okno filtru rek.
%ezplot(X_FT_sin,BND_w)
v_num = abs(double(subs(X_FT_sin, w, w_SMP)));
n = find(abs(v_num) == Inf);
stem(w_SMP(n),sign(v_num(n)), 'r*', 'LineWidth', 2);
xlabel('\omega [rad/s]'); ylabel('|X(\omega)|')
legend('Okno filtra rek.', 'Widmo');

subplot(2,1,2); hold on; grid on;
ezplot(x_sin_rek, BND_t); % syg. próbkowany
xlabel('t [s]'); ylabel('x(t)')
legend('x_rek');
end

```